

# 三相整流子機（終篇）

(Three Phase Commutator Machines)

松本正則

(設計課)

## 第四章 交流勵磁機

誘導電動機の二次回路に滑り周波数の電圧を與へて力車並に速度制御を行はんとする場合には、其の低周波電源として整流子機は缺く可からざるものである。

誘導電動機の各種の二次勵磁方式を述べる前に先づ二次給與電圧を有する誘導機の一般性質を考へてみる。

今  $V_1$  = 一次線路電圧

$V_2$  = 二次給與電圧

$E_1$  = 一次誘導起電力

$E_2 = E_1$  = 二次誘導起電力

$I_1$  = 一次電流

$I_2$  = 二次電流

$I_m = -E_1 Y_m$  = 勵磁電流

$s_1 = r_1 + jx_1$  = 一次漏洩インピーダンス

$s_2 = r_2 + jx_2$  = 二次漏洩インピーダンス

$Y_m = g - jb$  ( $= -jb$ ) = 勵磁アドミツタンス

$s$  = 滑り

$\tau_1 = s_1 Y_m$

とすれば（上記の値は何れも一相に對する値であり且つ一次二次の捲線比を 1 に換算した値を考へ

る）

$$\left. \begin{aligned} I_2 &= \frac{sE_1 + V_2}{s_2} \\ I_1 &= -I_2 + I_m \\ I_m &= -E_1 Y_m \\ V_1 &= -E_1 + I_1 s_1 \end{aligned} \right\} \quad (50)$$

此の基本式より

$$E_1 = E_2 = -\frac{V_1 s_2}{(1+\tau_1)s_2 + ss_1} - \frac{V_2 s_1}{(1+\tau_1)s_2 + ss_1} \quad (51)$$

$$I_2 = -\frac{sV_1}{(1+\tau_1)s_2 + ss_1} + \frac{(1+\tau_1)V_2}{(1+\tau_1)s_2 + ss_1} \quad (52)$$

$$I_1 = \frac{(Y_m s_2 + s)V_1}{(1+\tau_1)s_2 + ss_1} - \frac{V_2}{(1+\tau_1)s_2 + ss_1} \quad (53)$$

$$I_1 = V_1 \frac{Y_m}{1+\tau_1} - \frac{1}{1+\tau_1} I_2 \quad (54)$$

以上の関係をベクトルに表せば第三十五圖の様になる。

air gap power 卽ち二次入力は

$$W = 3 [E_1 \ I_2]$$

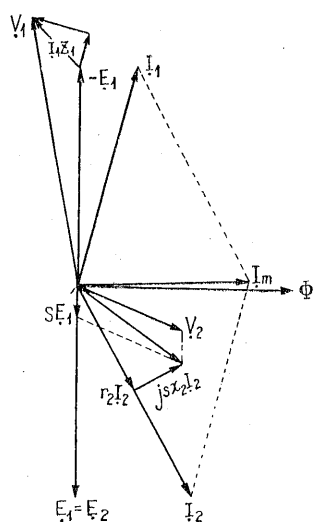
二次機械的出力は

$$W_m = (1-s)W$$

二次電氣的出力は

$$W_e = sW$$

然して主機の一次損失を無視して一次入力を W



第三十五圖 二次給電壓を有する誘導電動機のベクトル圖

とし、主機と勵磁機の入力、出力の関係を表せば次表の通りになる。

|                   | $W > 0$<br>電動機作用         | $W < 0$<br>発電機作用         |
|-------------------|--------------------------|--------------------------|
| $s < 0$<br>同期速度以上 | $(1-s)W > 0$<br>主機は電動機作用 | $(1-s)W < 0$<br>主機は発電機作用 |
|                   | $sW < 0$<br>勵磁機は発電機作用    | $sW > 0$<br>勵磁機は電動機作用    |
|                   |                          |                          |
| $s > 0$<br>同期速度以下 | $(1-s)W > 0$<br>主機は電動機作用 | $(1-s)W < 0$<br>主機は発電機作用 |
|                   | $sW > 0$<br>勵磁機は電動機作用    | $sW < 0$<br>勵磁機は発電機作用    |
|                   |                          |                          |

交流勵磁機としての用途は

- (A) 主誘導機の力率補償
- (B) 主誘導機の速度制御

の二種である。此の中速度制御に就いては其の應用方面も廣範であり、勵磁方式に關しても種々面白い方法があつて豫定の紙數では一寸説明しきれないから、此の問題は他日稿を改めて述べる事にして本章に於ては専ら主機の力率補償の問題のみ

に就いて概要を論じてみる。

### 主誘導機の力率補償

第三十五圖のベクトル圖よりみると二次給電壓  $V_2$  として  $E_1$  より  $90^\circ$  位相の進んだ電壓を與へれば二次電流の位相を進ませ以て一次力率を補償し得る事は明白である。

此の目的に使用する勵磁機を大別して

- (a) 自勵式交流勵磁機
- (b) 他勵式交流勵磁機

に分類し得る。前者は主機の二次電流を用ひて(としては主機の二次電壓を用ひる場合もある) 勵磁電壓を得る方式であり、後者は主機の二次電流又は電壓には無關係に線路又は別の電源から勵磁電壓を取る方式である。

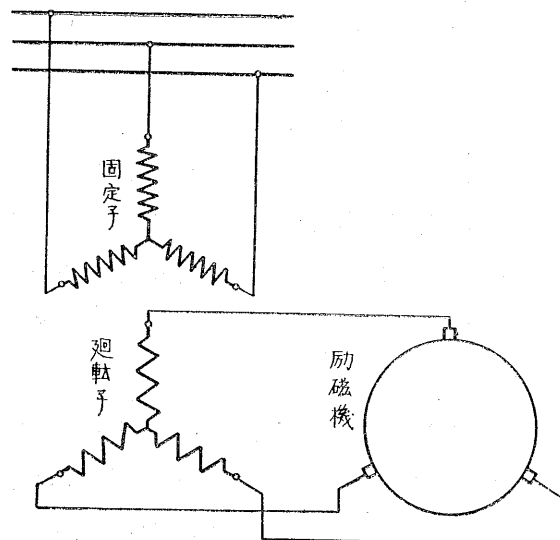
此の兩方式に屬する勵磁機の種類は枚挙にいとまない程多種多様であるが、此處では最も普通に用ひられる二三の代表的勵磁方法に就いて説明する。

#### (a) 自勵式交流勵磁機

##### (1) Leblanc-Latour 勵磁機

本機は最も簡単なる交流勵磁機であつて迴轉子に整流子捲線を有するのみで固定子には捲線がない。第三十六圖に示す如く本機の刷子を誘導電動機の滑動環に接続すれば勵磁機内には主機の二次電流に依つて磁束を生ずる。此の磁束は磁氣飽和を無視すれば電流に比例し、空間に對して主機の二次周波數  $sf$  と勵磁機の極數とに依つて決まる同期速度で迴轉する。迴轉子が靜止して居る場合には此の磁束の爲めに刷子には磁束より  $90^\circ$  遅れた電壓を發生するが、迴轉子を磁束と同一方向に

回転させれば速度の上昇に連れて誘導電圧は次第に減少して磁束の回転速度と進相機の回転速度とが一致すれば零になり、更に回転速度を増せば誘導電圧の方向が逆になり磁束より  $90^\circ$  進んだ電圧を発生する事になる。これが本機の根本原理である。



第三十六圖 Leblanc-Latour 勵磁機接続圖

今  $f' =$  勵磁機の回転周波数

$x_a =$  線路周波数  $f$  に対する勵磁機の勵磁リアクタンス

$E_e =$  勵磁機の誘導起電力

とすれば

$$\begin{aligned} E_e &= j(f' - sf) \frac{1}{f} x_a I_2 \\ &= j(a-s)x_a I_2 \end{aligned} \quad (55)$$

茲に  $a = f'/f$  である。

此の  $E_e$  が即ち二次給與電圧  $V_2$  になるのであるから (55) 式を (52) 式に代入して

$$I_2 = -\frac{sV_1}{(1+\tau_1)s + ss_1} + j \frac{(1+\tau_1)(a-s)x_a}{(1+\tau_1)s_2 + ss_1} I_2$$

即ち

$$\begin{aligned} -I_2 &= V_1 \frac{s}{(1+\tau_1)s_2 + ss_1 - j(1+\tau_1)(a-s)x_a} \\ &= V_1 \frac{s}{r_2' + sr_1 + j(-ax_a' + s(x_a' + x))} \dots \end{aligned} \quad (56)$$

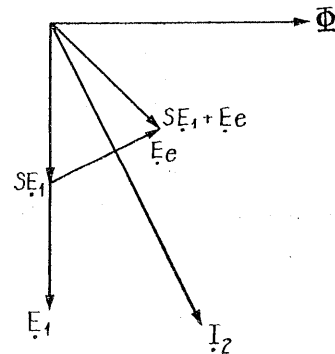
但し

$$x = x_1 + (1+\tau_1)x_2$$

$$x_a' = (1+\tau_1)x_a$$

$$r_2' = (1+\tau_1)r_2$$

此のベクトル圖を第三十七圖に示す。

第三十七圖 Leblanc-Latour 勵磁機を使  
用せる場合のベクトル圖

(56) 式は圓線圖に表し得る形であつて圓の中心

の坐標は

$$\left. \begin{aligned} \xi &= \frac{V_1}{2} \frac{r_2'}{ar_1x_a' + r_2'(x_a' + x)} \\ \eta &= \frac{V_1}{2} \frac{ax_a'}{ar_1x_a' + r_2'(x_a' + x)} \end{aligned} \right\} \quad (57)$$

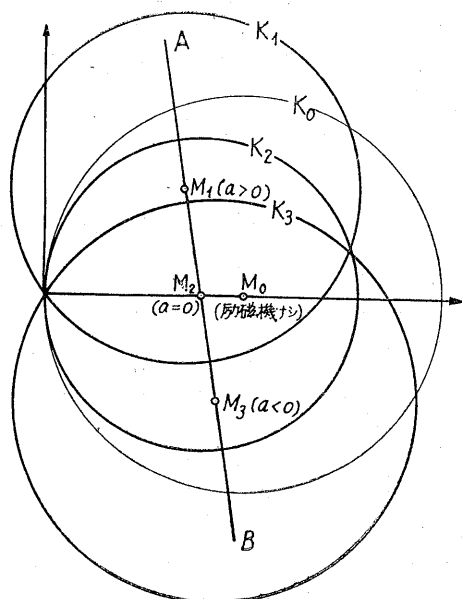
(57) 式より  $a$  を消去すれば

$$\eta = \frac{V_1}{2r_1} - \frac{x_a' + x}{r_1} \xi \quad (58)$$

之即ち勵磁機の速度を変化した場合の圓線圖の中心の軌跡を表すものである。圖に示せば第三十八圖の直線 A B で表される。

(56) 式よりみるに  $s=0$  の場合は必ず  $I_2=0$  になるから此の圓線圖は必ず原點を通過する。以上の點を考へれば  $I_2$  を表す圓線圖の變化は第三十八

圖の様になる。



第三十八圖 Leblanc-Latour 勵磁機を使用する場合の圓線圖

$-I_2$ の圓線圖の尺度を  $\frac{1}{1+\tau_1}$  倍し原點を  $V_1 \frac{Y_m}{1+\tau_1}$  だけ移動して考へれば此の圓線圖は  $I_1$ を表すものと考へてよい。即ち無負荷速度は勵磁機のない場合と變らないが、負荷の増すと共に力率が著しくよくなり遂に最高力率に達し然る後は負荷の増すと共に力率は再び低下する。

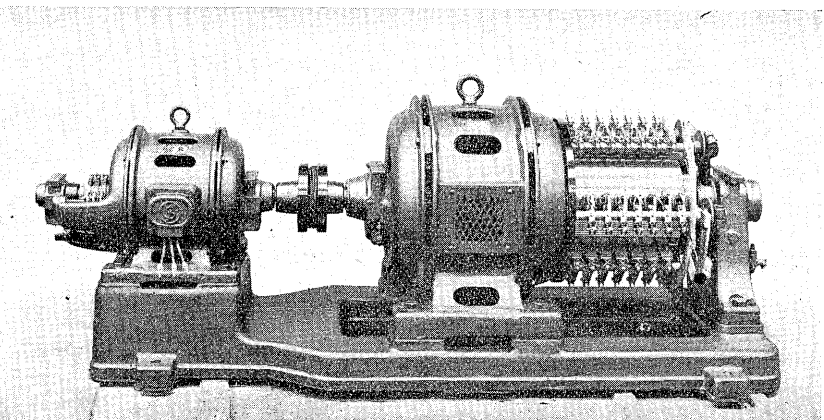
實際には磁氣回路に相當磁氣飽和を來すから  $I_2$ の増すと共に  $\alpha_a$ が減少して進相容量の增加を抑止するので比較的廣範囲の負荷に對して略一定の力率を與へる事

が出来る。此の勵磁機は接續が至つて簡単で取扱ひに手數を要する事なく目的の高力率が得られるので mill motor 等に廣く用ひられて居る。第三十九圖は此の種の勵磁機を示し、第四十圖は之れを接続した誘導磁動機の代表的な力率特性を示す。

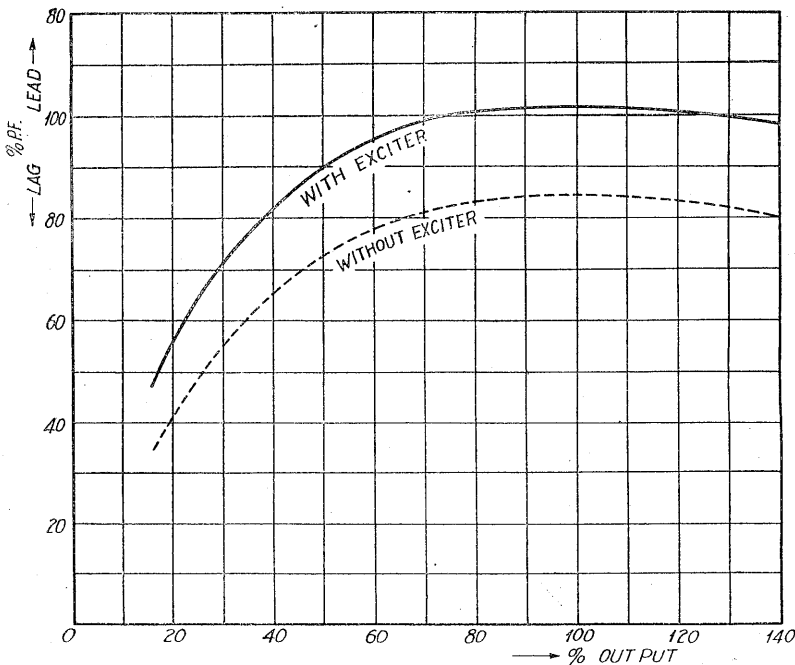
## (2) 直捲勵磁機

此の勵磁機は Leblanc-Latour 勵磁機の固定子に直捲捲線を備へたものであつて、刷子の移動に依つて特性を調整するのを目的として居る。固定子及び迴轉子の接續は第四十一圖に示す如く三相直捲電動機と全く同様（但し中間變壓器は使用しない）であるから、其の起磁力及び起電力の關係は前記の直捲電動機の場合と同様になる。

以上を考慮して主機の二次回路のベクトル圖を引けば第四十二圖を得る。圖に於て  $\rho$  を刷子角とすれば勵磁機の固定子起磁力  $F_{es}$  は  $I_2$  と同相に生じ、之れより  $\rho$  だけ遅れた迴轉子起磁力  $F_{er}$  との合成起磁力  $F_e$  で勵磁機の界磁束  $\Phi_e$  を作る。然して此の  $\Phi_e$  より  $90^\circ$  遅れて固定子起電力  $E_{es}$  を誘導



第三十九圖 宇部セメント株式會社製納入 12kVA Leblanc-Latour 勵磁機

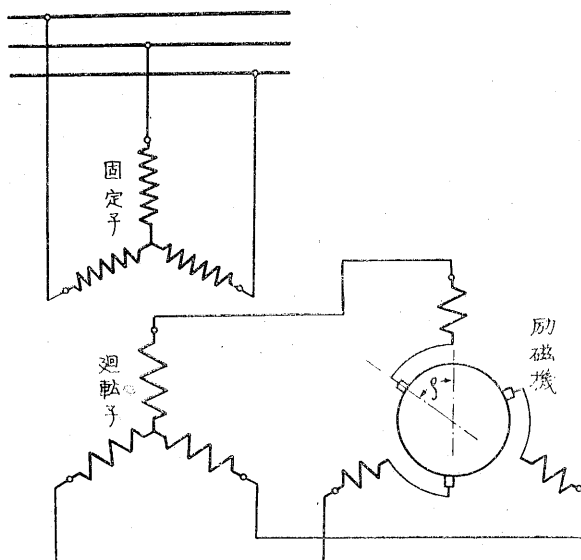


第四十圖 自勵式勵磁機機を有する誘導電動機の力率特性

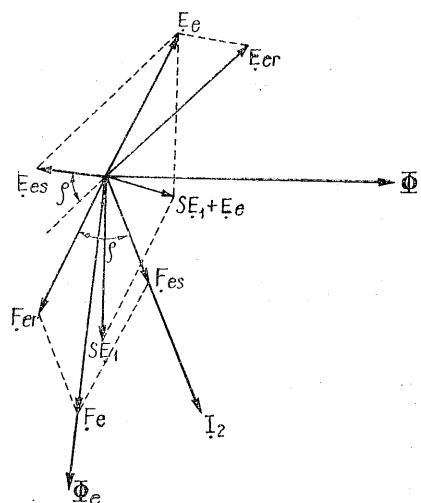
し、之れより $(\pi - \rho)$ だけ遅れて（回転子は超同期速度で回転する故）回転子起電力 $E_{cr}$ を誘導して兩者の合成値 $E_e = E_{cs} + E_{cr}$ が勵磁機の電圧になる。

回転子及び固定子の有効巻線比を $u$ 、固定子の線路周波數に對する勵磁リアクタンスを $x_a$ とすれば次の關係が成立する。

$$F_e = F_s(1 + u\varepsilon^{-j\rho})$$



第四十一圖 直捲勵磁機接続圖



第四十二圖 直捲勵磁機のベクトル圖

$$\underline{E}_s = -jsx_a \underline{I}_2 (1 + u e^{-j\rho})$$

$$\underline{E}_r = \frac{s-a}{s} u \underline{E}_s e^{-j(\pi-\rho)}$$

$$= ju(a-s)x_a \underline{I}_2 (1 + u e^{-j\rho}) e^{j\rho}$$

\*ら主機の無負荷力率を制御する事は出来ない。依つて非同期進相機等の如き目的に對しては是非共他勵式勵磁機を使用する必要がある。

従つて

$$\underline{E}_e = \underline{E}_s + \underline{E}_r$$

$$= jx_a \underline{I}_2 (1 + u e^{-j\rho}) \{u(a-s) e^{j\rho} - s\}$$

$$= jx_a \underline{I}_2 \{u \cos \rho (a-2s) + u^2 (a-s) - s \\ + ja \sin \rho\} \dots \dots \dots (59)$$

(b) 他勵式交流勵磁機

(1) 整流子型周波数変換機

本機は整流子及び滑動環を有する回転子を主體とし、小型のものでは固定子を置かずに溝を回転子鐵心の内部に置いて鐵心の外側の部分で磁束の

$$\therefore \underline{I}_2 = -\frac{s \underline{V}_1}{(1+\tau_1) z_2 + sz_1} + jx_a \underline{I}_2 \frac{\{u \cos \rho (a-2s) + u^2 (a-s) - s + ja \sin \rho\} (1+\tau_1)}{(1+\tau_1) z_2 + sz_1}$$

$$\text{即ち } -\underline{I}_2 = \underline{V}_1 \frac{s}{r'_2 + aux_a' \sin \rho + sr_1 + j\{-uxx_a'(u+\cos \rho) + s[x+x_a' + ux_a'(u+2\cos \rho)]\}} \dots \dots \dots (60)$$

茲に  $x, r'_2, x_a'$  は前の Leblanc-Latour 勵磁機の場合と同様の値を表す。

(60)式も亦圓線圖に表し得る形であつて中心の坐標は

$$\begin{aligned} \xi &= \frac{\underline{V}_1}{2} \frac{r'_2 + aux_a' \sin \rho}{uxx_a' r_1 (u+\cos \rho) + \{r'_2 + aux_a' \sin \rho\} \{x + x_a' (1 + u^2 + 2u \cos \rho)\}} \\ \eta &= \frac{\underline{V}_1}{2} \frac{uxx_a' (u+\cos \rho)}{uxx_a' r_1 (u+\cos \rho) + \{r'_2 + aux_a' \sin \rho\} \{x + x_a' (1 + u^2 + 2u \cos \rho)\}} \end{aligned} \dots \dots \dots (61)$$

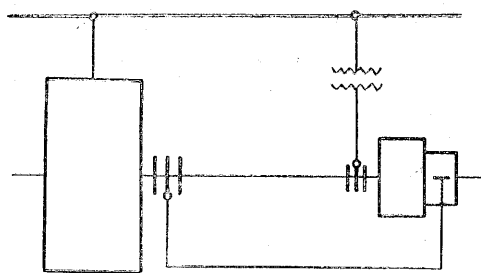
此の中心は刷子を移動して  $\rho$  を變へるに従つて種々の位置へ来る。依つて  $\rho$  を調整すれば或る程度まで力率を調整し得るのである。但し此處に注意すべきは直捲勵磁機に於ては  $\rho=0$  或は  $\pi$  の場合以外は其の電流、電壓間に有効分が存在するから勵磁機は電動機又は發電機として作用し、主機の力率制御と同時に幾分負荷速度制御を行ふ事になるのである。

自勵式交流勵磁機には其の他固定子に分捲捲線又は短絡捲線を有するもの、主機の二次電壓を勵磁電壓とする低周波發電機を用ふるもの等があるが此處では説明を省略する。何れにしても此の種の勵磁機は主機に二次電流が流れ（或は二次電壓が現れて）始めて効力を發揮するものであるか\*

歸路を形成させて居るものもある。滑動環は回転子捲線の互に 120 電氣度を距てた三點から引出し、整流子上の刷子も亦 120 電氣度の間隔に置く。此の滑動環側に線路周波数の電壓を加へ、主機と直結（主機と勵磁機の極數が等しい場合）又は齒車結合（極數の異なる場合）して磁束の回転方向と反対に回転させれば、整流子の周波数変換作用に依つて刷子には必ず主機の滑り周波数の電壓が現れる。此の電壓の位相は刷子の位置に依つて變り、大さは滑動滑電壓に依つて定まる。

此の勵磁方式に依る接続圖を第四十三圖に示す。刷子移動の角を  $\alpha$ 、勵磁變壓器の變壓比を  $u$  とすれば刷子電壓即ち主機の二次給與電壓は

$$\underline{V}_2 = -u \underline{V}_1 e^{j\alpha} = -\underline{V}_1 (\lambda + j\mu) \dots \dots \dots (62)$$



第四十三圖 整流子型周波數変換機接続圖

で表される。此の關係を前的一般式(53)に入れれば

$$\begin{aligned} I_1 &= V_1 \frac{Y_m z_2 + s}{(1+\tau_1)z_2 + sz_1} - V_2 \frac{1}{(1+\tau_1)z_2 + sz_1} \\ &= \frac{V_1}{(1+\tau_1)z_2 + sz_1} \{ Y_m z_2 + s + \lambda + j\mu \} \\ &= \frac{\lambda + s(1+\tau_2) + j(\mu - br_2)}{(1+\tau_1)r_2 + (r_1+jx)s} V_1 \end{aligned} \quad (63)$$

茲に  $\tau_2 = bx_2$ ,  $x = x_1 + (1+\tau_1)x_2$

である。

(63)式は又圓線圖に表し得る形であつて其の中心の坐標は

$$\left. \begin{aligned} \xi &= \frac{V_1}{2xr_2(1+\tau_1)} \{ (1+\tau_1)(1+\tau_2)r_2 \\ &\quad + br_2x - r_1\lambda - x\mu \} \\ \eta &= \frac{V_1}{2xr_2(1+\tau_1)} \{ br_1r_2 + x\lambda - r_1\mu \} \end{aligned} \right\} \quad (64)$$

$\lambda = \mu = 0$  即ち勵磁機のない場合の圓線圖の中心

$$\xi_0 = \frac{V_1}{2x(2+\tau_1)} \{ (1+\tau_1)(1+\tau_2) + bx \}$$

$$\eta_0 = \frac{V_1}{2x(1+\tau_1)} br_1$$

に原點を移動して考へれば(64)式に示す中心の坐標は

$$\left. \begin{aligned} \xi' &= -\frac{V_1}{2xr_2(1+\tau_1)} (r_1\lambda + x\mu) \\ \eta' &= \frac{V_1}{2xr_2(1+\tau_1)} (x\lambda - r_1\mu) \end{aligned} \right\} \quad (64a)$$

上式より  $\lambda$  を消去して  $\mu = \text{一定}$  の場合の中心の軌跡を求めれば

$$x\xi' + r_1\eta' = -\frac{\mu V_1}{2xr_2(1+\tau_1)} (x^2 + r_1^2)$$

で表される直線になる。此の直線の原點よりの距離は  $\frac{\mu V_1}{2xr_2(1+\tau_1)}$  で與へられ、横軸に對する傾斜は  $\tan^{-1}(\frac{d\eta'}{d\xi'}) = \tan^{-1}(-\frac{x}{r_1})$  である。

同様に  $\lambda = \text{一定}$  の場合の軌跡も直線で其の原點よりの距離は  $\frac{\lambda V_1}{2xr_2(1+\tau_1)}$ 、横軸をなす傾斜の角は  $\tan^{-1}(-\frac{r_1}{x})$  になる。

次に(63)式よりみると  $s = \infty$  に對應する  $I_1$  の値は  $\lambda, \mu$  に無關係であつて

$$I_1 \infty = V_1 \frac{1+\tau_1}{r_1+jx} \quad (65)$$

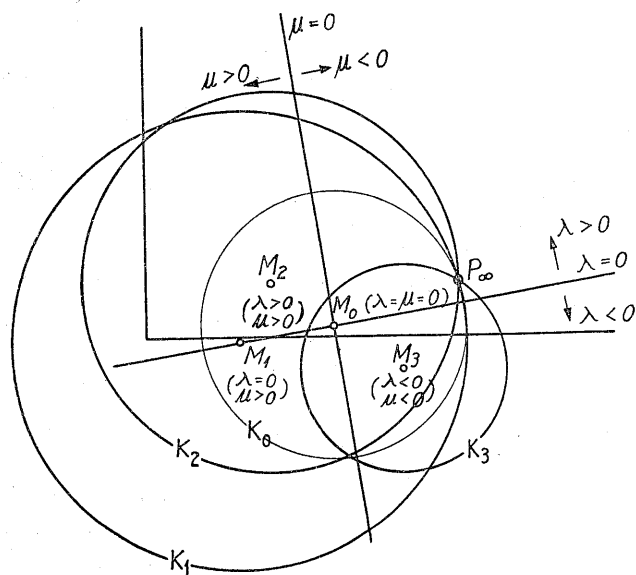
で與へられるから、 $I_1$  の圓は必ず此の點を通る事になる。

従つて  $\lambda, \mu$  に依る圓線圖の變化は第四十四圖の様になる。即ち無負荷電流  $I_0$  は  $\mu$  に依つて著しく變り、 $\mu$  を充分大きくすれば無負荷進電流を流す事も出来るから非同期進相機として使用し得るのである。

## (2) 補償捲線附整流子型周波數変換機

前記の周波數変換機では容量が大きくなれば整流に困難を來すので固定子に補償捲線を置いて迴轉子に對する有効捲線比を 1 にし、且つ兩者の磁氣軸を反對方向にして迴轉子の負荷電流による起磁力を補償させる。従つて滑動環からは主機の二次電流の大小には關係なく勵磁機の界磁束を作る爲めの勵磁電流のみが流入するに過ぎない。

本機に於ては刷子を移動して  $V_2$  の位相を調整せんとすれば同時に固定子も移動しなければならないのであつて、刷子のみを移動すれば固定子の完全なる補償作用は失はれる事になる。依つて通常刷子の移動は行はず滑動環電壓の位相を調整する様にする。此の目的には第四十五圖に示す如く



第四十四圖  $I_1$  の圓線圖  
(整流子型周波數變換機による二次勵磁)

特殊の誘導電圧調整器或は別に勵磁用同期電動發電機を使用する。

刷子に現れる電圧は前の整流子型周波數變換機と同様に  $-V_1(\lambda+j\mu)$  であるが、端子に至るまでの間に固定子を通り此處で必ず  $-V_1(\lambda+j\mu)s$  の電圧降下を生ずるから、勵磁機の端子に現れる電圧即ち主機に加はる二次勵磁電圧は

$$V_2 = -V_1(\lambda+ju)(1-s) \quad \dots \dots \dots (66)$$

之れを一般式に代入して

$$I_1 = V_1 \frac{\lambda(1-s) + s(1+\tau_2) + j[u(1-s) - br_2]}{(1+\tau_1)r_2 + (r_1+jx)s} \quad \dots \dots \dots (67)$$

此の式も亦圓線圖に表し得る形であつて、圓の中心の坐標を求めれば

$$\begin{aligned} \xi &= \frac{V_1}{2r_2(1+\tau_1)} [(1+\tau_1)(1+\tau_2)r_2 + br_2x] \\ &\quad - \lambda r - \mu x \end{aligned} \quad \dots \dots \dots (68)$$

$$\eta = \frac{V_1}{2r_2(1+\tau_1)} [br_1r_2 + \lambda x - \mu r]$$

但し茲に

$$r = r_1 + (1+\tau_1)r_2$$

次に(67)式よりみるに  $s=1$  に對應する短絡電流の値は  $\lambda$  及び  $\mu$  は無關係で必ず

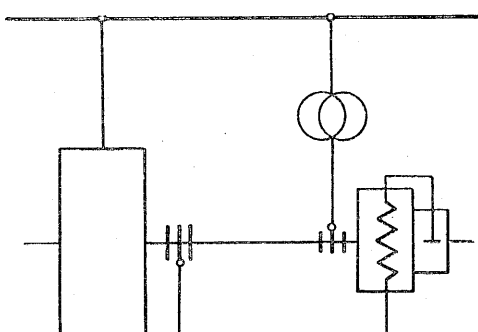
$$I_{1(s=1)} = V_1 \frac{(1+\tau_2) - jbr_2}{r_1 + jx} \quad \dots \dots \dots (69)$$

になる。依つて此の點は總ての圓線圖に共通の點である。又(68)よりみるに圓の中心の坐標は、前の整流子型周波數變換機の場合の式に對して  $r_1$  を  $r$  で置換へれば略々同一になる。依つて以上の二點を考慮に入れば容易に第四十四圖の如き圓線圖を求め得るのである。

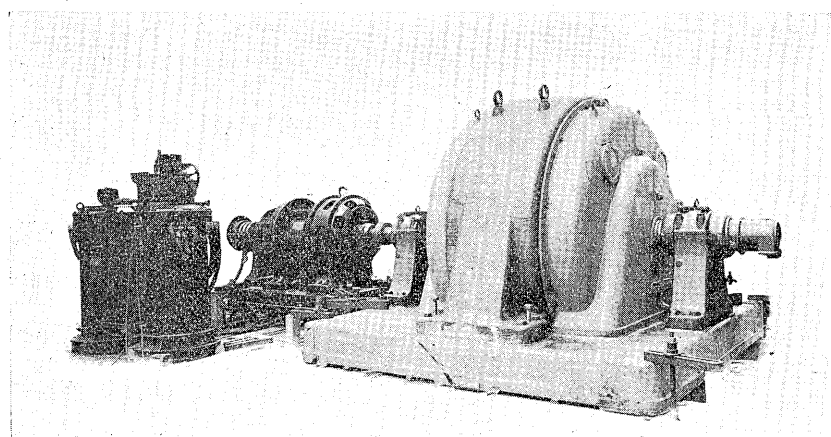
第四十六圖は此の種の勵磁機を使用した非同期進相機である。

### (3) 低周波發電機に依る二段勵磁方式

大容量の機械になれば周波數變換機と主機の間に滑り周波數の電力の增幅機として整流子型の低周波發電機を使用する。低周波發電機の原理は直流發電機の界磁を交流で勵磁すれば刷子には界磁電流と同一周波數の交番電圧を發生する點を利用



第四十五圖 補償捲線附整流子型周波數變換機接續圖



第四十六圖 京都電燈株式會社貰納入3000kVA非同機進相機

したものである。固定子は突出極型であつて構造上 360 電氣度の空間に 120 電氣度の間隔で三個の磁極を置き、各に三相の勵磁捲線を施して全體として三磁極毎に N, S の磁極を形成させる様になつて居る。同時に又補償捲線及び整流極を置いて整流の困難を除くのである。

本装置を應用した代表的の接続を第四十七圖に示す。

今低周波發電機の界磁回路のイムピーダンスを

$$z_3 = r_3 + jsv_3$$

とし、周波數變換機の電壓を

$$V_3 = -V_1(\lambda + j\mu)$$

とすれば主勵磁機（低周波發電機）の界磁電流は

$$I_3 = \frac{V_3}{z_3} = -\frac{V_1}{z_3}(\lambda + j\mu)$$

主勵磁機に發生する起電力は磁氣回路の飽和を無視すれば界磁電流並に迴轉速度に比例する。依つて速度を一定にすれば低周波發電機の發生起電力は次式で與へられる。

$$E_c = cI_3 = -V_1 \frac{c}{z_3} (\lambda + j\mu)$$

茲に  $c$  は磁氣飽和を考へなければ機械の設計によ

る定數である。

此の  $E_c$  が主機の滑動環に加はるのであるから主機の二次勵磁電壓は

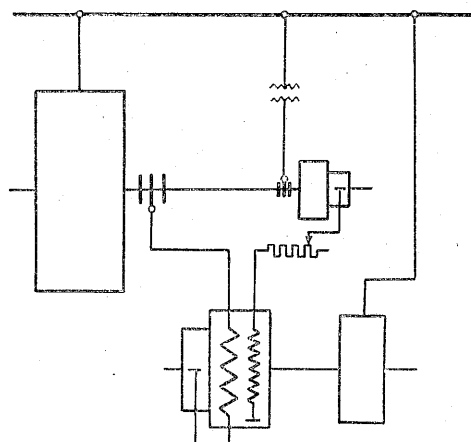
$$V_2 = -V_1 \frac{c}{z_3} (\lambda + j\mu) \dots (70)$$

上式に於て  $z_3$  の中  $sv_3$  を考慮に取ると問題が複雑して来るから

滑りが極く小さくて  $r_3$  に對して  $sv_3$  を無視し得る場合を考へれば（事實滑りが少し大きくなれば  $sv_3$  の影響は頗る重大になって種々不都合を起すから斯かる場合には外部的方法に依つてリアクタンスを補償する必要が生じて來るのである）

$$V_2 = -V_1 \frac{c}{r_3} (\lambda + j\mu) \dots (70a)$$

此の式は前の(62)式と全然同様の形であつて唯電壓が  $\frac{c}{r_3}$  倍に増幅されて居るに過ぎない。従つて主機の特性も中間に増幅機として低周波發電機を挿入したゞけて整流子型周波數變換のみを用ひ



第四十七圖 二段勵磁機方式接続圖

た場合と全く同様になる。二次給與電圧の調整には周波数変換機の電圧を加減してもよいし、又主勵磁機の界磁回路に加減抵抗器を用ひてもよい。又主勵磁機は別の電動機を用ひて運転しないで主機に直結しても差支へない。此の場合には速度

が $(1-s)$ に比例するから主勵磁機の電圧は

$$\dot{V}_2 = E_c = -\dot{V}_1 \frac{c}{\gamma_3} (1-s)(\lambda + j\mu) \dots \dots (70b)$$

になり、前の補償捲線附整流子型周波数変換機の場合と同様になる。(終)

### 高音器の出力と室の大きさ

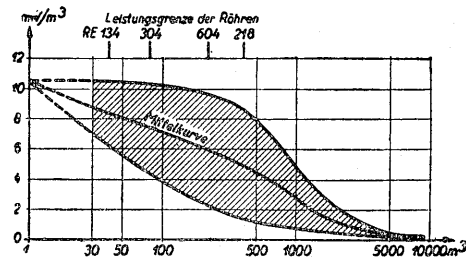
近時都會の騒音の問題が喧しくなり、高音器の音を聽取出来る程度に成る可く小さくする様當局から注意されて居ますが、その程度たるや頗る不徹底なもので、受信器から生ずる雑音、受信器及空中線の配置の良否に基因する雑音等が到來電波の大きさに對する防害の程度の多い程放送機及放送技術の悪い程高音器の音を高めねば聽取が困難であります故、謂ふべくして行はれぬ言であります。

一體受信器内から發生する雑音の原因の中最も多いのは絶縁不良から来るもので、次は部分品の質の粗悪のため電氣的相互關係が適切でない事、過負荷即ち音を大きくし過ぎる事から起ります。配置の良否に就て云へば、空中線が最も敏感で、他の饋電線や高周波装置に接近せしめるることは禁物であります。尙空中線は短い程影響され易く、又遠距離受信の場合には、所謂容量性空中線を使用すれば空電の防害を免れ得ません。其他交流式受信器にあつては、電源側の進行波等に影響されます。

然し、之等の中殆んど大抵は雑音防止装置を新たに添加するか、さもなくば、配置其他の僅かの變改で緩和されますが、受信器自體の質の改善は容易に行はれるものではありません。従つてこの問題は今更急に解決し様としても無理であつて、放送當局が新設の受信機に對しては検査を行つて使用せしめねば、

惡貨は良貨を驅逐するの譬に洩れず永久に改善の望は見出せません。

而して騒音は上述のやうな雑音から由來するのみでなく、室の大きさに對して音が大きすぎる程、又室が大きすぎる程多くなりますから、高音器の出力を適當に擇ぶ必要があります。勿論室内の反響の特性に依つて多少の相違がありますが、次に示す表は種々の實驗



Telefunken 真空管 RE134, 304, 604等は夫々出力 0.5W; 0.8W; 2W. の終段増幅真空管；八疊間(高さ九尺)は $36m^3$ に相當す。

の結果發表されたもので、大略の見當を與へるものと言へます。此の表は 50-5000  $m^3$  の音域に對し略々一様の増幅と、且音の強弱の比(獨逸では大略 1:25 以内に調整す)が相當大である音樂等の聽取とを考慮に入れてあります。がこの程度の値が適當であつて、筆者の經驗に依れば、八疊間、高さ九尺に對し真空管 R E 134 を使用した場合窓を廣く明け放さぬ限り屋外には騒音は殆んど洩れず、又ニュウス丈けの聽取にはこの  $\frac{1}{2}$  以下の出力でも充分であります。



\*本誌に記載されている会社名および製品名は、それぞれの会社が所有する商標または登録商標である場合があります。